



AGA0293 Astrofísica Estelar
Profa. Jane Gregorio-Hetem

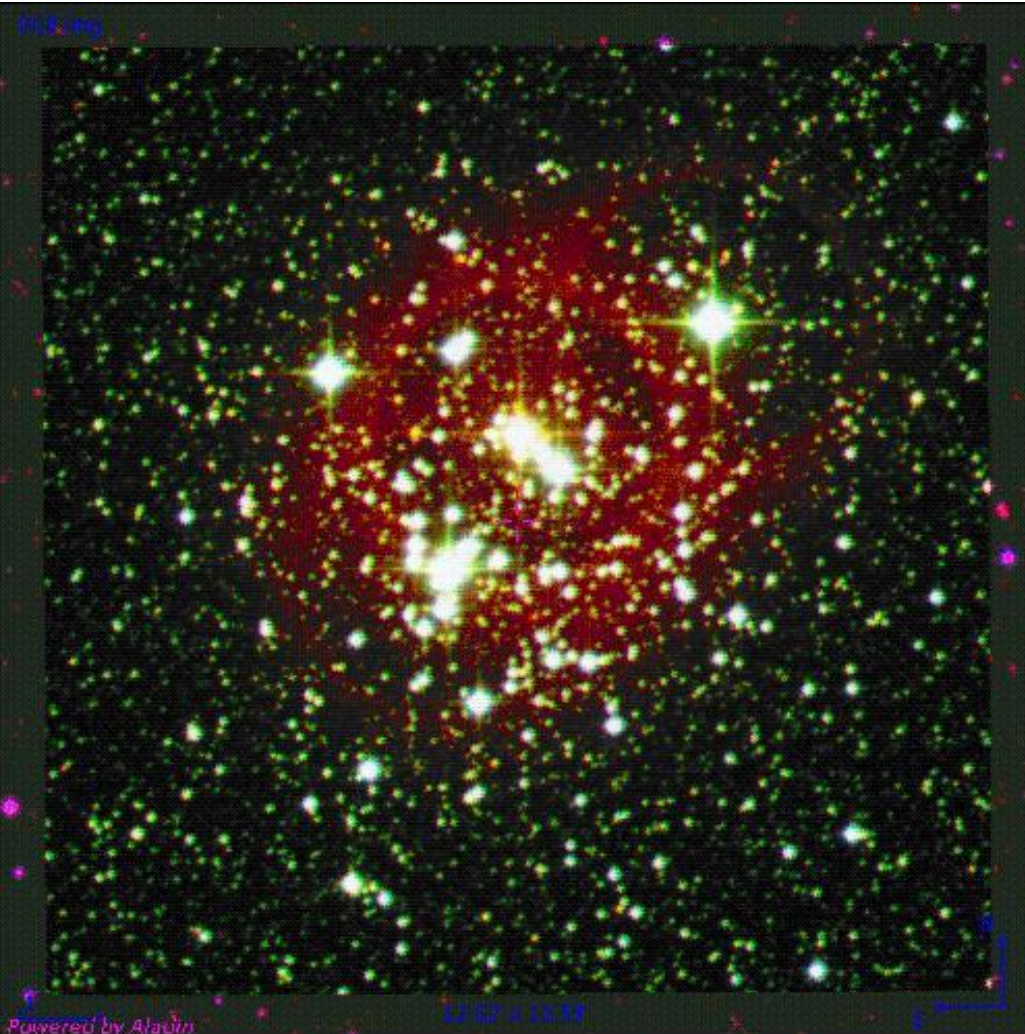
Capítulo 8
Classificação dos Espectros Estelares

8.1 Formação das linhas espectrais

8.2 O Diagrama H-R

Classificação das Estrelas

depende de Luminosidade (L) & Temperatura (T)



Procura-se correlacionar os parâmetros \Rightarrow comparação entre as estrelas de diferentes tipos.

A large orange scroll graphic with a dark orange border and rounded corners. The scroll is unrolled in the center, with the ends of the scroll visible on the left and right sides. The text is centered on the unrolled portion.

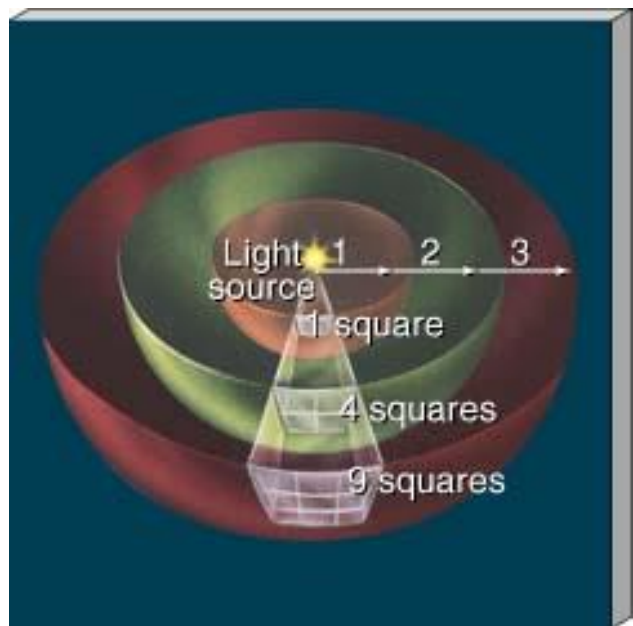
REVISÃO CONCEITOS BÁSICOS

Brilho Aparente, Luminosidade, Raio e Temperatura da estrela

$$L_* = 4 \pi R_*^2 \sigma T_*^4$$

$$m(d) \propto -2,5 \log F(d) = -2,5 \log \left(\frac{L_*}{4 \pi d^2} \right)$$

$$M_{abs} = m(d = 10 pc) \propto -2,5 \log L_* + 5$$

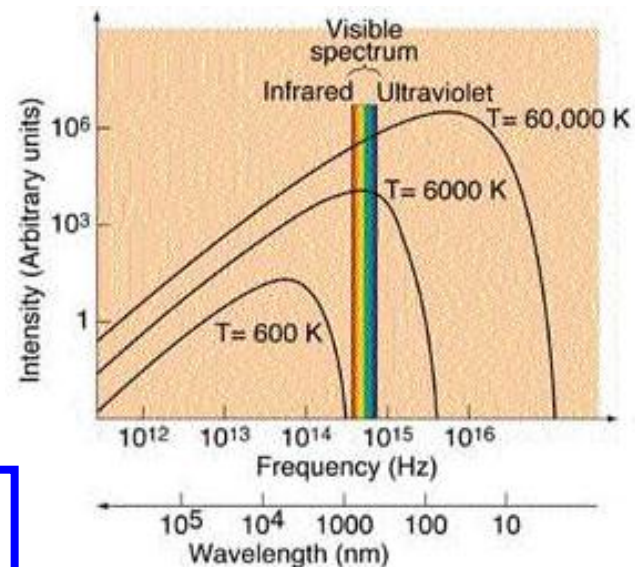


$$F(R_*) = \frac{L_*}{4 \pi R_*^2}$$

$$F(R_*) = \sigma T_*^4$$

Stefan-Boltzman

$$F(d) = \frac{L_*}{4 \pi d^2}$$



Wien

$$\lambda_{max} (cm) = \frac{0,29}{T(K)}$$



Ejnar Hertzsprung
(1873 – 1967)

O Diagrama H-R

Em 1905, Hertzsprung descobriu que a **largura das linhas espectrais** correlacionam-se com o **brilho** intrínseco das **estrelas** \Rightarrow estudo de amostra de estrelas com temperaturas semelhantes.

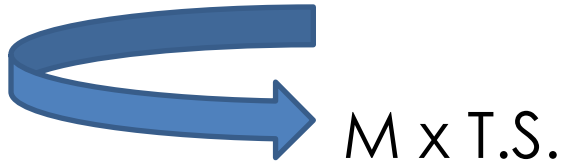

$$L \times T_{\text{ef}} (\text{cte})$$

- Estrelas com linhas mais estreitas \Rightarrow mais brilhantes
- Estrelas com linhas alargadas \Rightarrow menor brilho.

 Deduz-se que as **diferenças nas linhas espectrais** devam ser causadas pelas diferenças nos **raios estelares**.

Diagrama H-R

- Russel, utilizando outros dados chegou a interpretação semelhante: **magnitude absoluta** é bem correlacionada com o **tipo espectral**.



- Comparou esses parâmetros para as Plêiades e as Híades (aglomerados estelares jovens).



Henry Russell
(1877 - 1957)

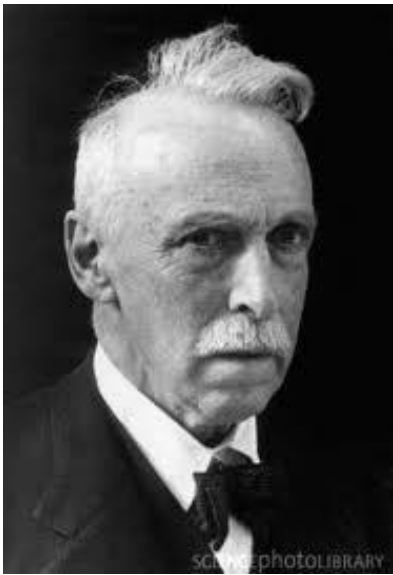


Diagrama H-R



Diagrama Hertzsprung-Russel (H-R)

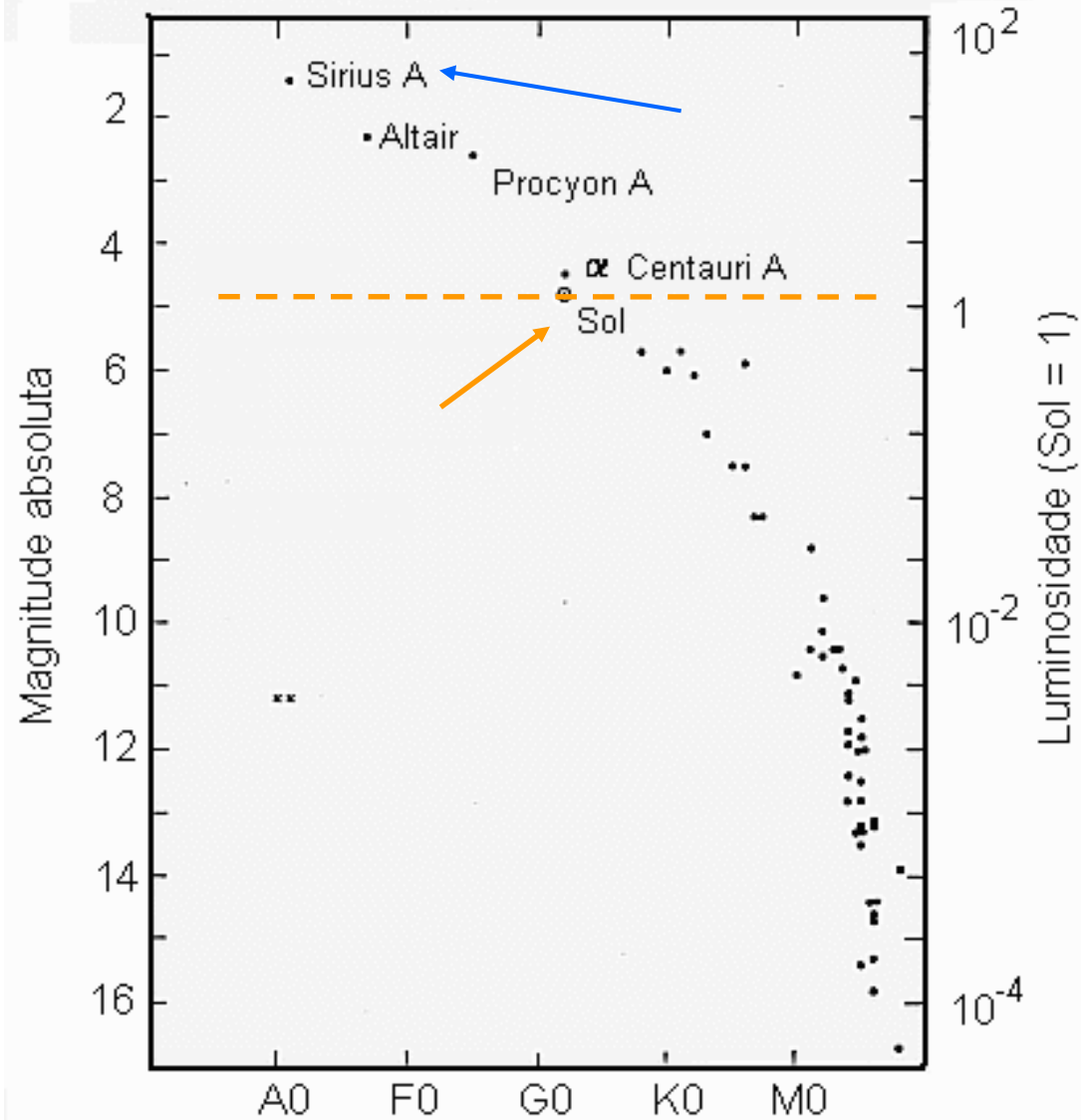


por convenção \Rightarrow **luminosidade no eixo vertical** e a
sequência de **tipos espectrais no eixo horizontal**.

Diagrama H-R estrelas próximas do Sol ($d < 5\text{pc}$).

Algumas são menos
brilhantes e mais frias
que o Sol.

Outras são mais quentes
e luminosas (por ex.:
Sirius A).



O, B, A, F, G, K, M

primeiros tipos
(early type)

últimos tipos
(late type)

★ quentes

★ frias

Diagrama H-R estrelas próximas do Sol

- Região definida pela posição dessas estrelas é conhecida como **sequência principal**, a **fase evolutiva** na qual se encontra a maioria das estrelas.

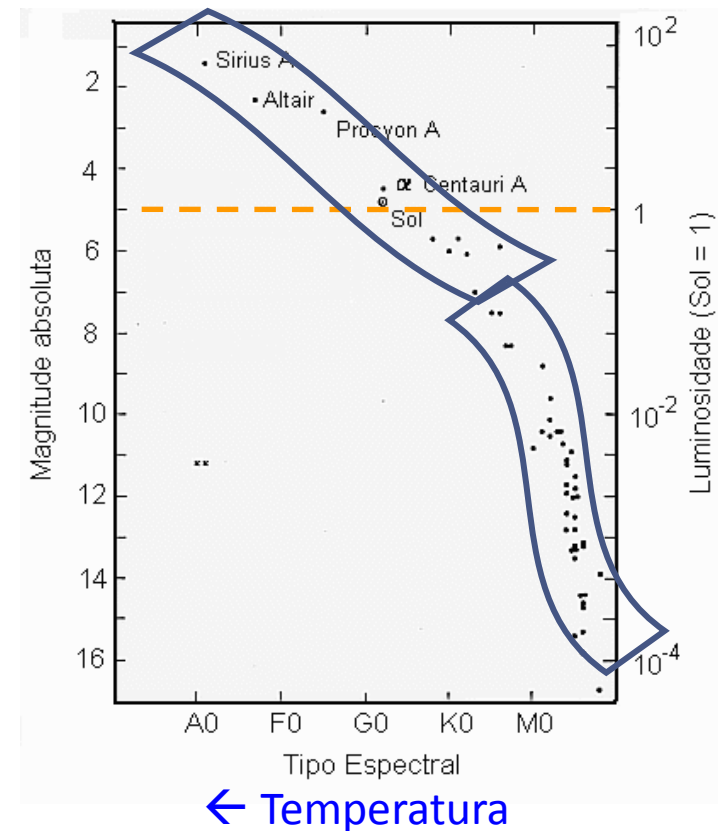
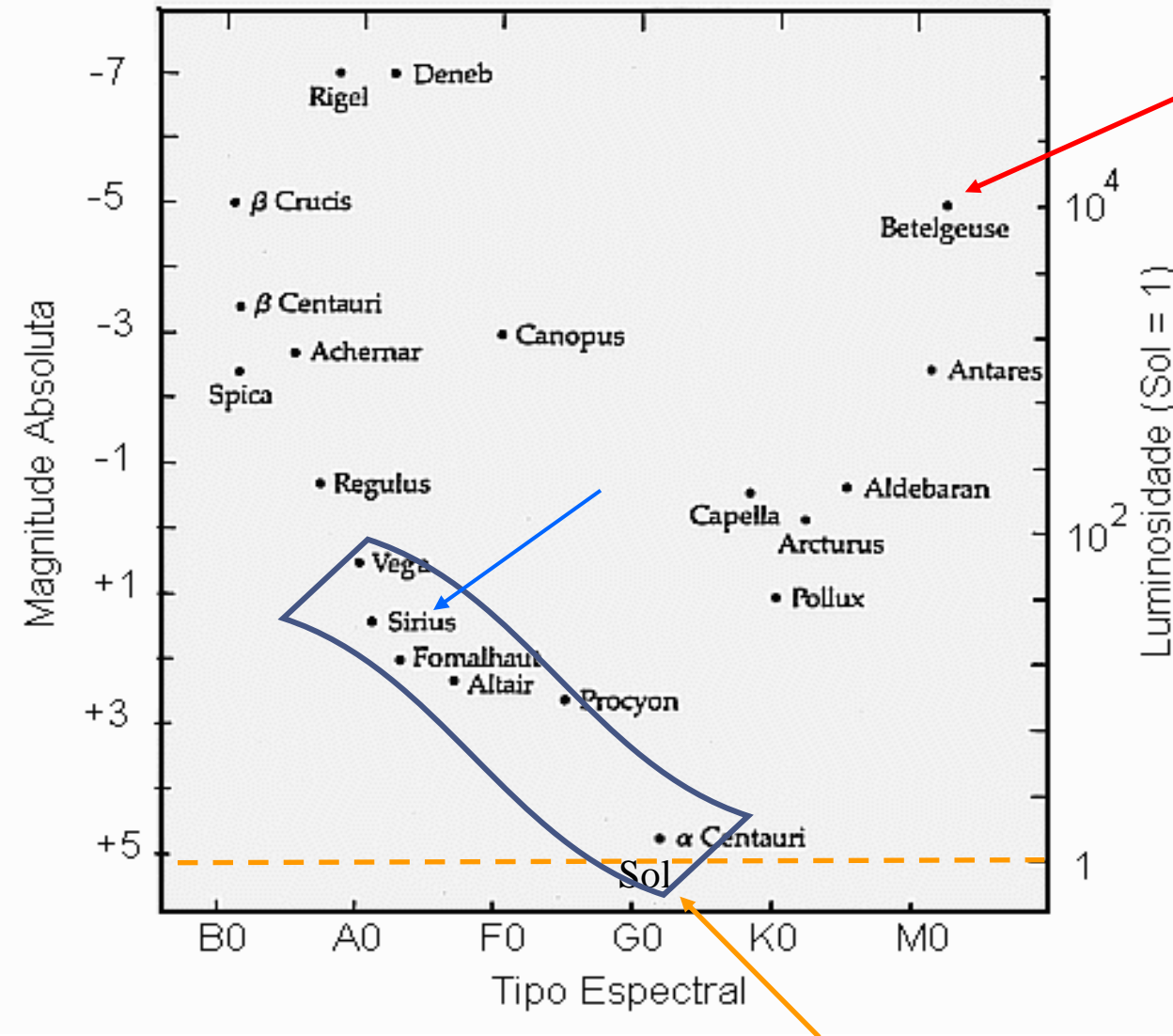
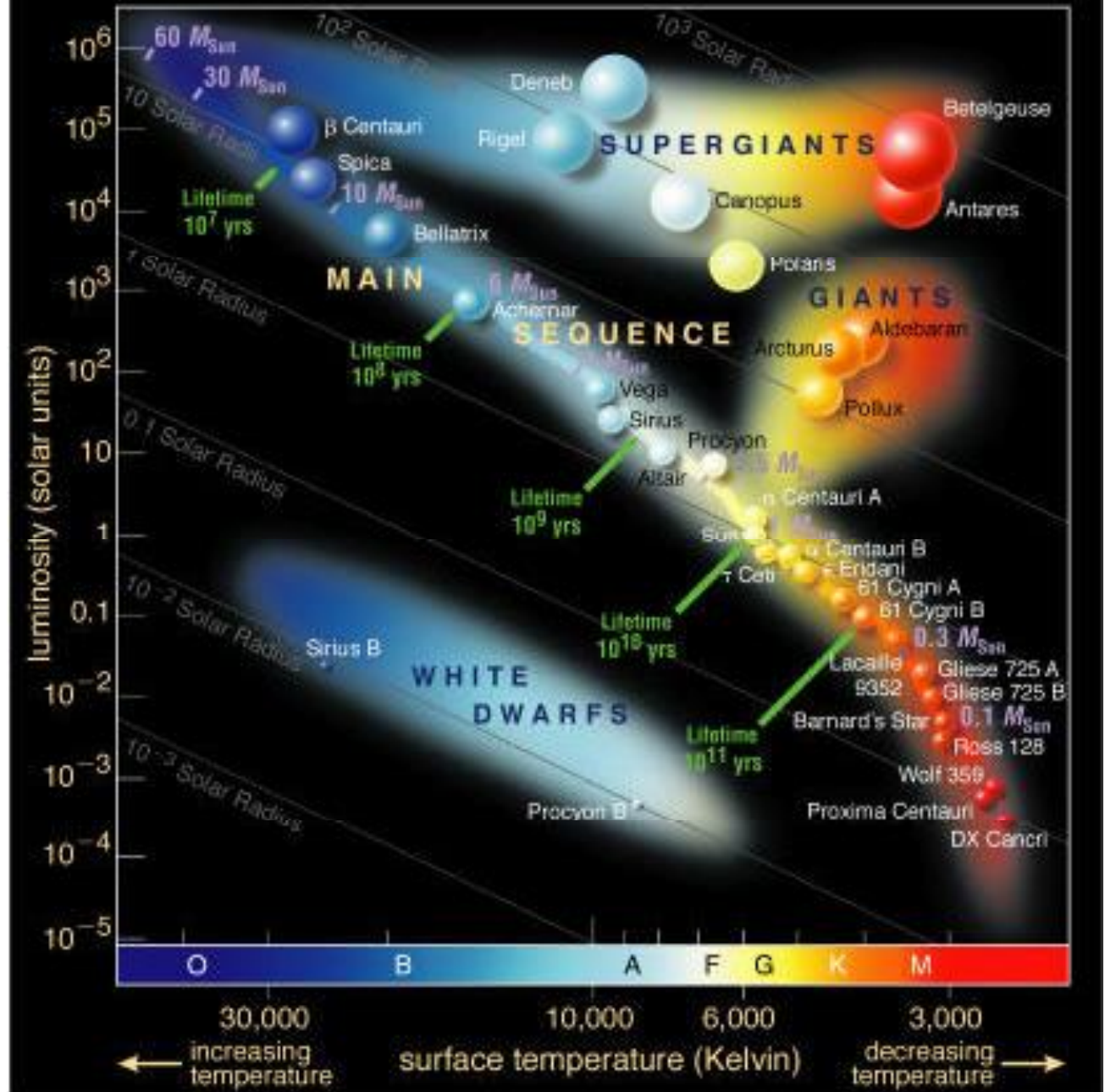


Diagrama H-R das estrelas mais brilhantes



Betelgeuse, por ex., muito mais fria e muito mais luminosa que o Sol, aparece na parte direita superior.

Diagrama H-R
 ilustrando
 diferentes
 temperaturas;
 raios; massa e
 tempo de vida
 das estrelas



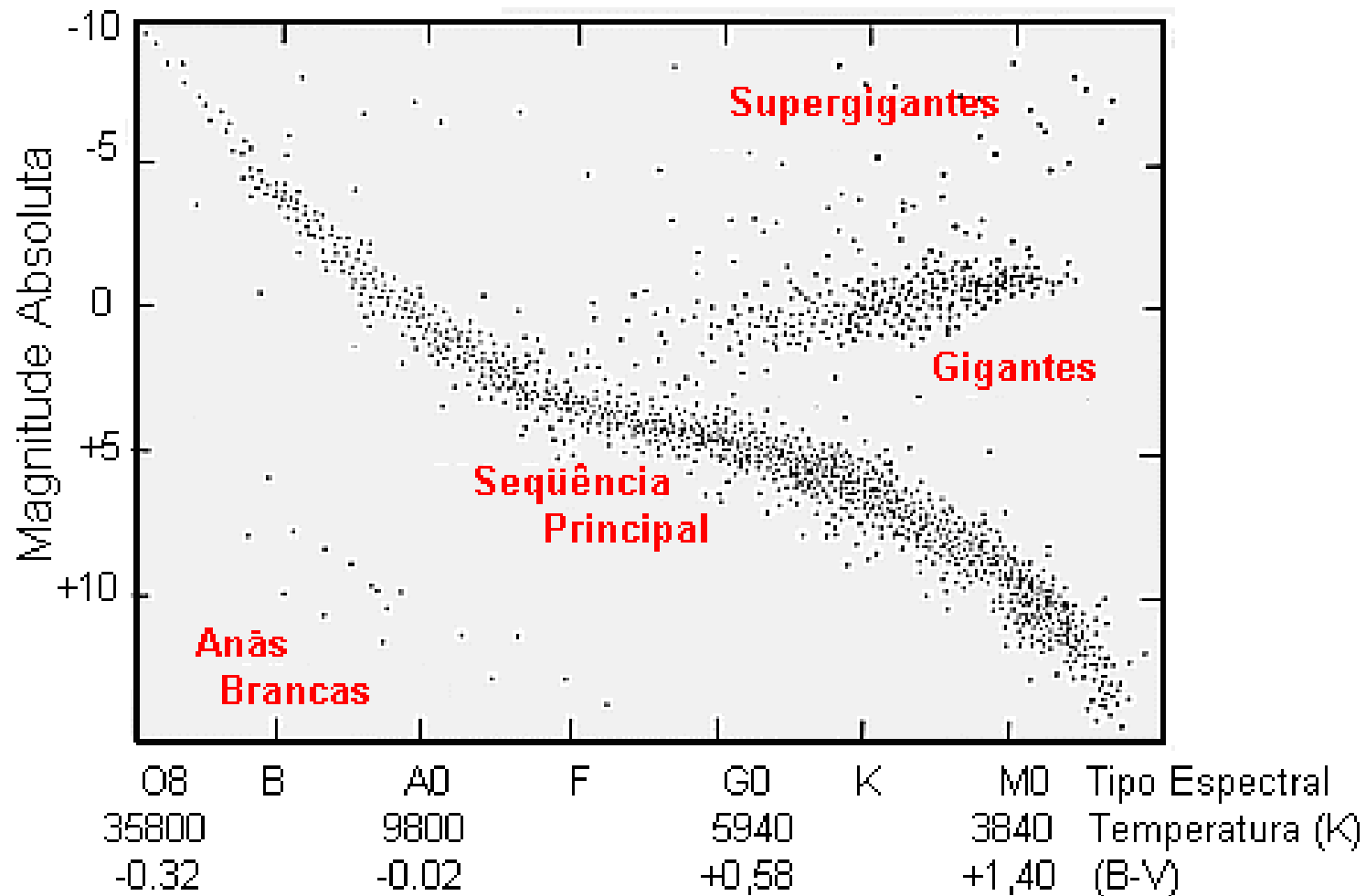
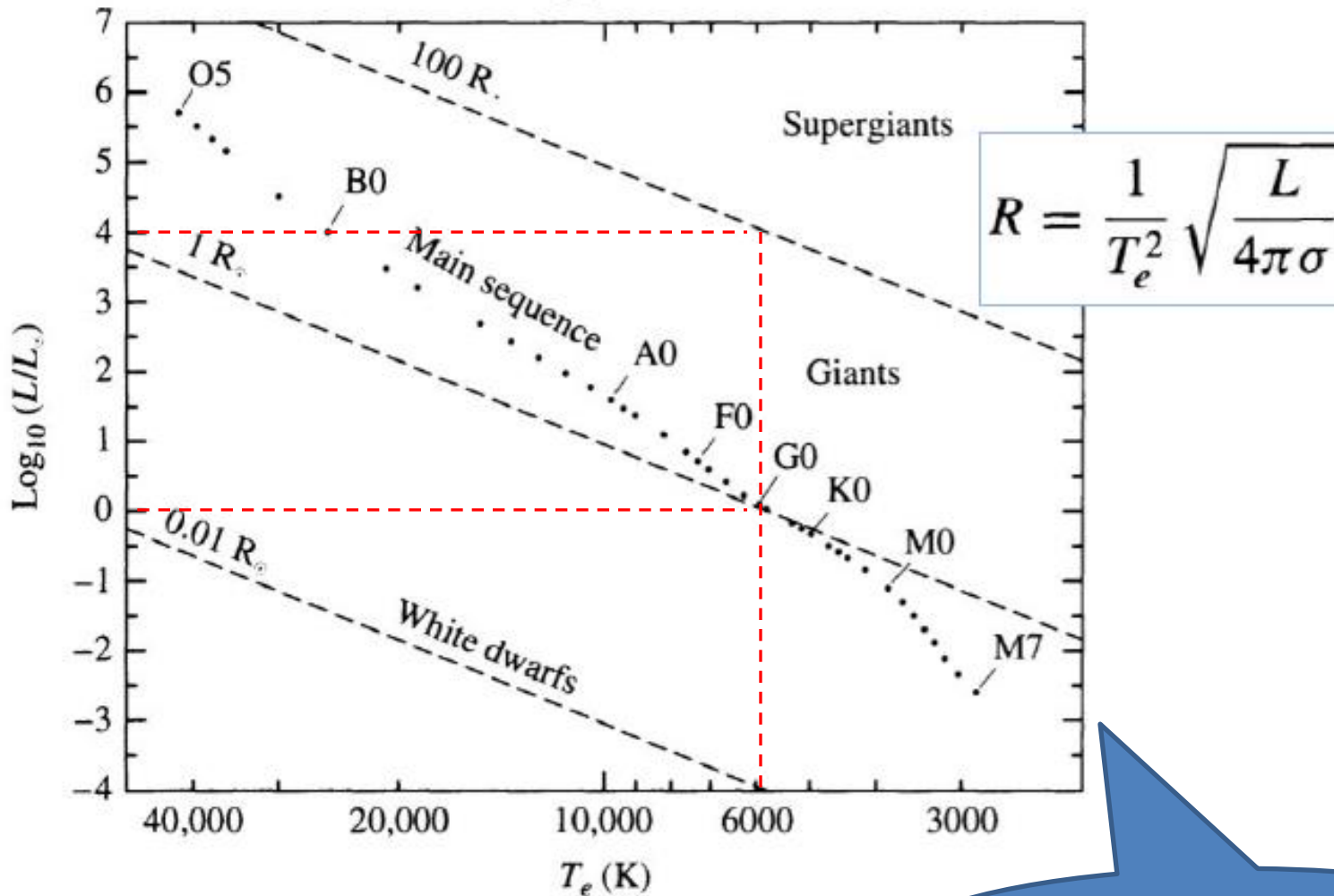


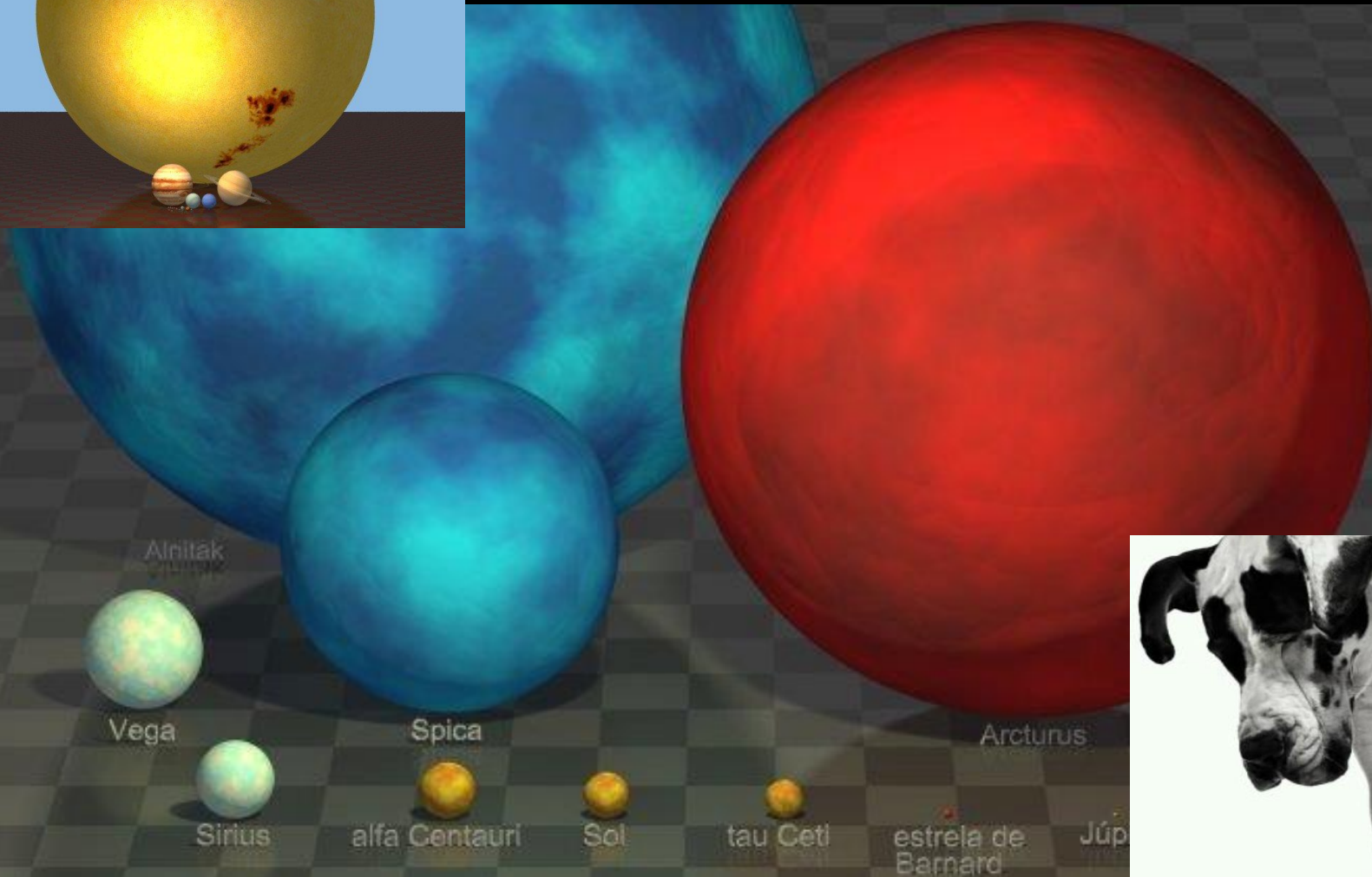
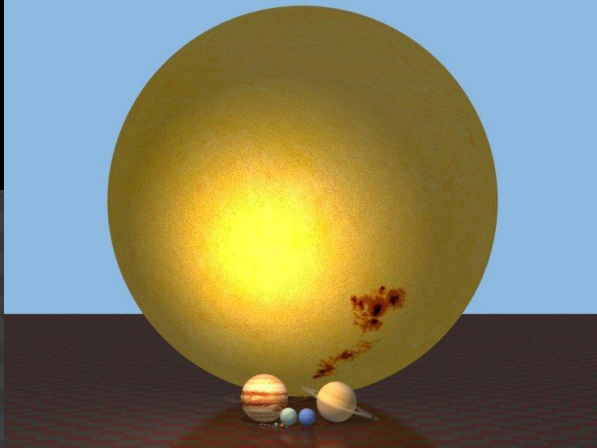
Diagrama H-R para uma grande amostra de estrelas. No eixo horizontal, além do tipo espectral, são apresentados temperaturas e índices de cor, adotados de Schmidt-Kaler e de de Jager & Nieuwenhuijzen (1987) para a classe V.

The H-R diagram: theoretical

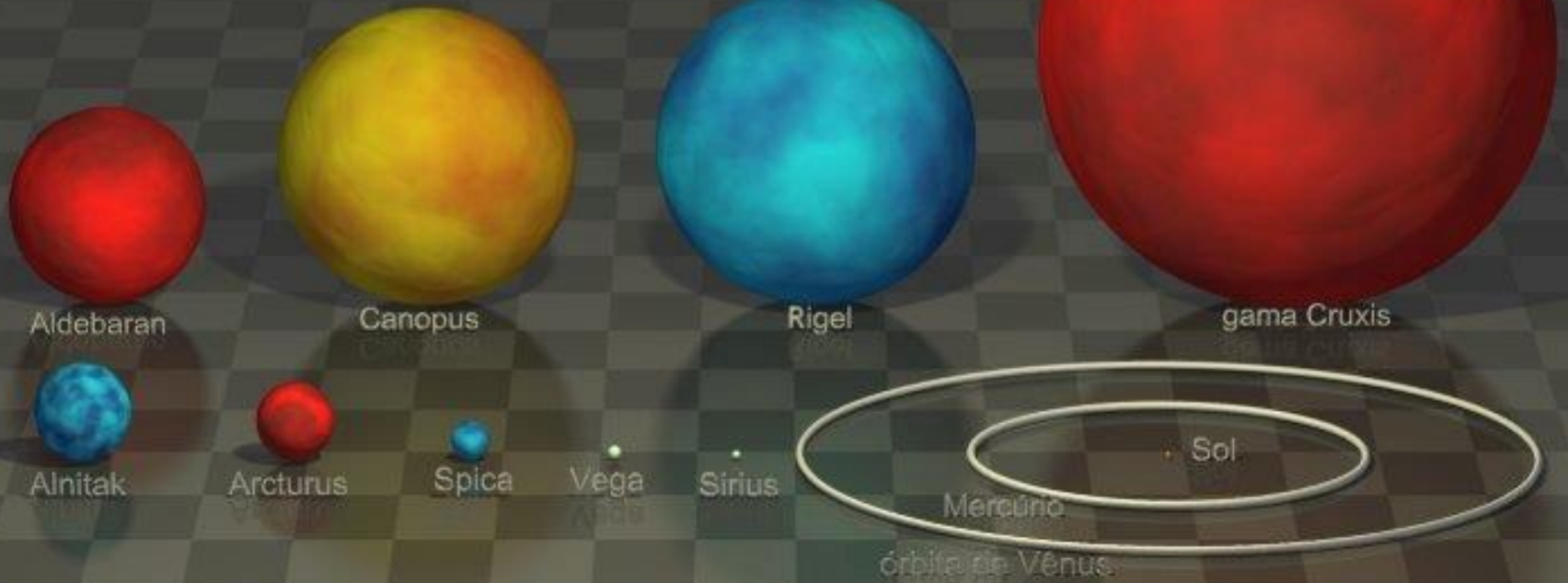
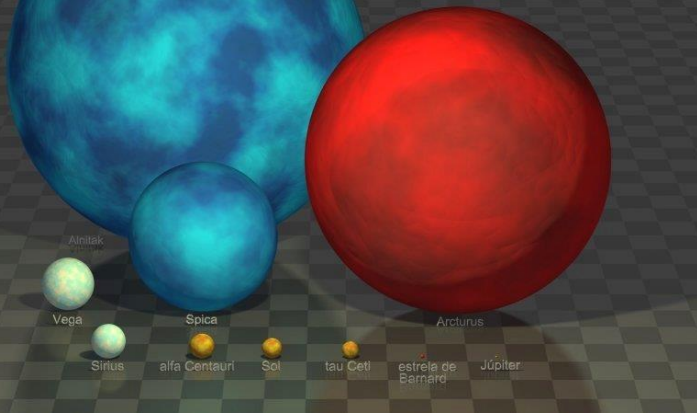


Baseado nas propriedades
médias das estrelas da
Sequência Principal

Estrelas anãs e gigantes



Estrelas supergigantes



Example 8.2.1. The Sun, a G2 main-sequence star, has a mass of $M_{\odot} = 1.9891 \times 10^{30}$ kg and a radius of $R_{\odot} = 6.95508 \times 10^8$ m. Its average density is thus

$$\bar{\rho}_{\odot} = \frac{M_{\odot}}{\frac{4}{3}\pi R_{\odot}^3} = 1410 \text{ kg m}^{-3}.$$

Sirius, the brightest-appearing star in the sky, is classified as an A1 main sequence star with a mass of $2.2 M_{\odot}$ and a radius of $1.6 R_{\odot}$. The average density of Sirius is

$$\bar{\rho} = \frac{2.2 M_{\odot}}{\frac{4}{3}\pi (1.6 R_{\odot})^3} = 760 \text{ kg m}^{-3} = 0.54 \bar{\rho}_{\odot},$$

which is about 76 percent of the density of water. However, this is enormously dense compared to a giant or supergiant star. The mass of Betelgeuse is estimated to lie between 10 and $15 M_{\odot}$; we will adopt $10 M_{\odot}$ here. For illustration, if we take the maximum radius of this pulsating star to be about $1000 R_{\odot}$, then the average density of Betelgeuse (at maximum size) is roughly

$$\bar{\rho} = \frac{10 M_{\odot}}{\frac{4}{3}\pi (1000 R_{\odot})^3} = 10^{-8} \bar{\rho}_{\odot}!$$

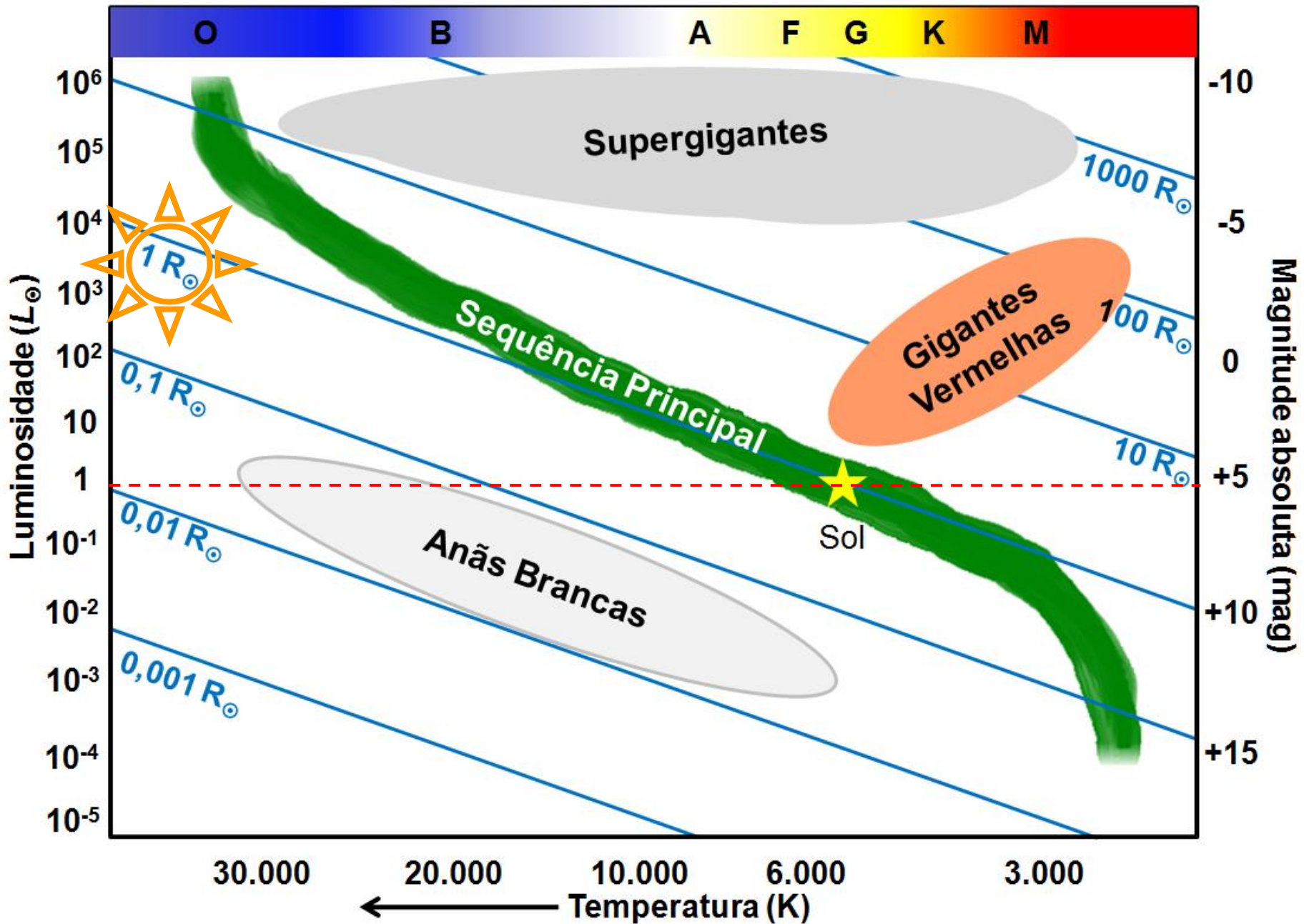
Classes de luminosidade

As estrelas podem ser separadas no Diagrama H-R de acordo com sua categoria.

Exemplos:

- Sol é considerado uma estrela **anã da Sequência Principal**.
- Betelgeuse é uma **super-gigante**.
- **Anãs Brancas** são estrelas muito quentes, mas muito menores que o Sol.

A distribuição de um **grande número** de estrelas no Diagrama H-R define claramente as regiões onde se encontram diferentes categorias de estrelas.

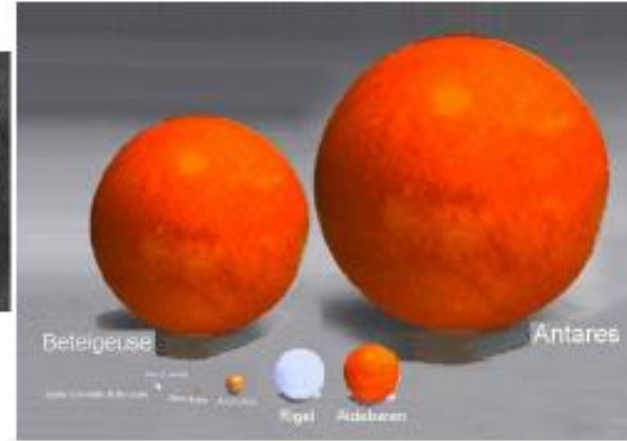


Classe de luminosidade

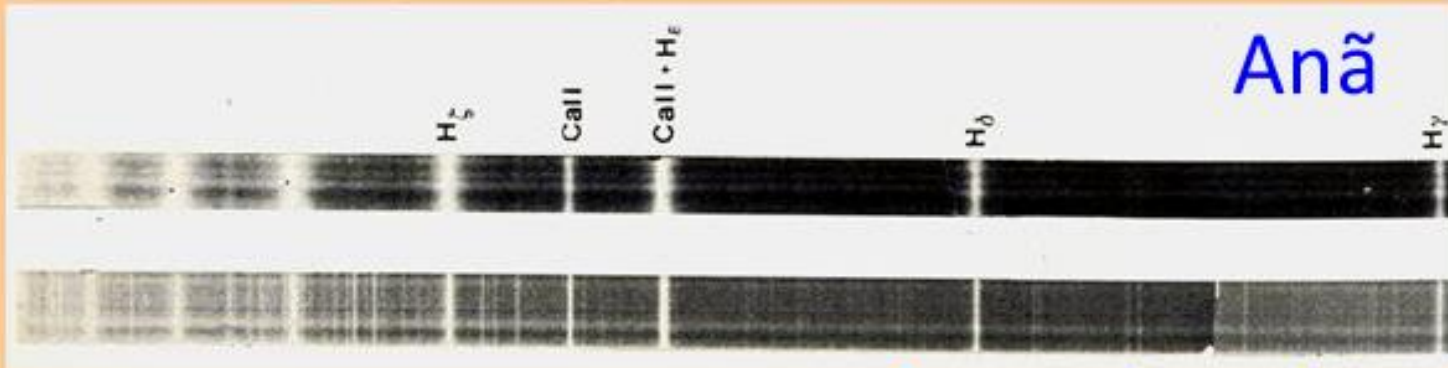


Antonia
Caetana
de Paiva
Pereira
Maury

Antonia Maury : foi contratada em 1888 por E. Pickering (Harvard) para classificar espectros. Ela propôs um novo sistema de classificação levando em conta tb a forma das linhas, mas foi ignorado por Pickering.



Dwarf and Supergiant spectra in comparison



Above: normal star
Below: supergiant star

Supergigante

Note wide and diffuse hydrogen and calcium lines in normal stars atmosphere, against the extreme sharpness of the same lines in the supergiant atmosphere.

Créditos: Prof. Jorge Meléndez

AGA0293 "Diagrama H-R" Profa. Jane Gregorio-Hetem (IAG/USP)

Raio x Densidade

- Como diferenciar tamanhos de estrelas que tenham mesmo tipo espectral?
- As características das linhas espectrais, que são formadas sob diferentes condições físicas, indicam: **densidades nas atmosferas estelares**

$$\rho_{\text{gigantes}} \ll \rho_{\text{anãs}} \ll \rho_{\text{anãs brancas}}$$

Model atmospheres broad-band colors, bolometric corrections and temperature calibrations for O - M stars^{*}

M.S. Bessell¹, F. Castelli², and B. Plez^{3,4}

¹ Mount Stromlo and Siding Spring Observatories, Institut
Weston Creek P.O., ACT 2611, Australia

² CNR-Gruppo Nazionale Astronomia and Osservatorio

³ Astronomiska Observatoriet, Box 515, S-75120 Uppsala

⁴ Atomspektroskopi, Fysiska Institution, Box 118, S-221

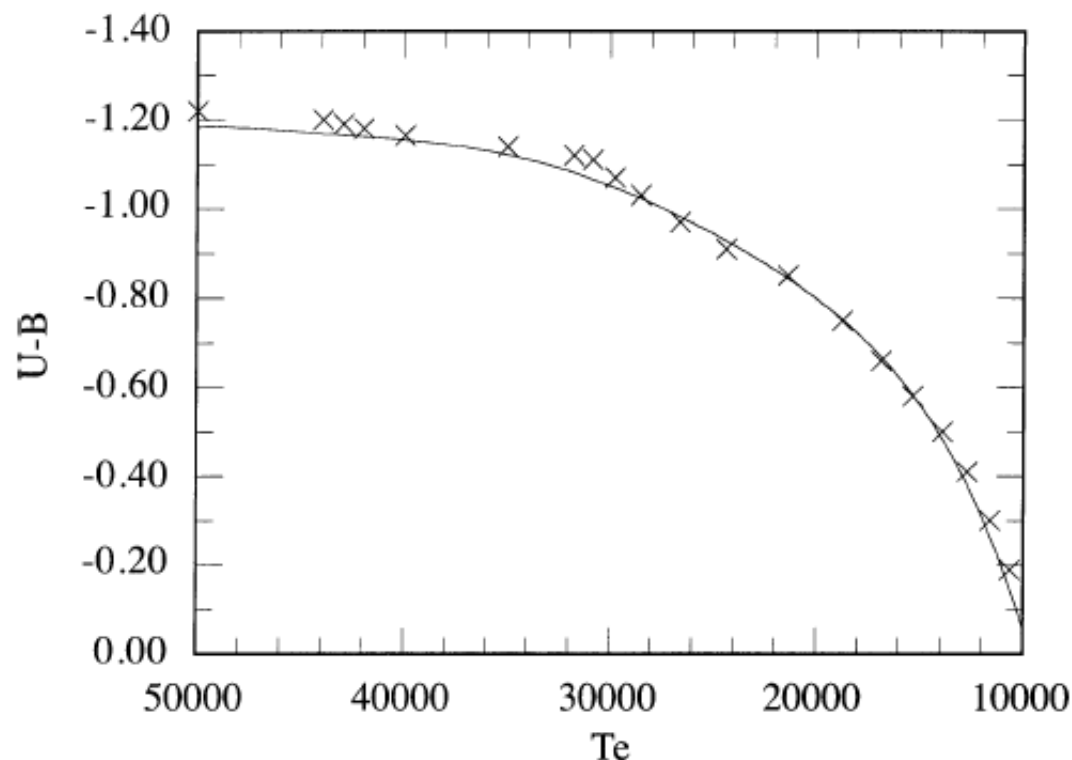


Fig. 4. The T_{eff} versus U-B diagram from the model atmospheres (full line) compared with the empirical relation from Crowther (1997) (crosses)

Variação da gravidade

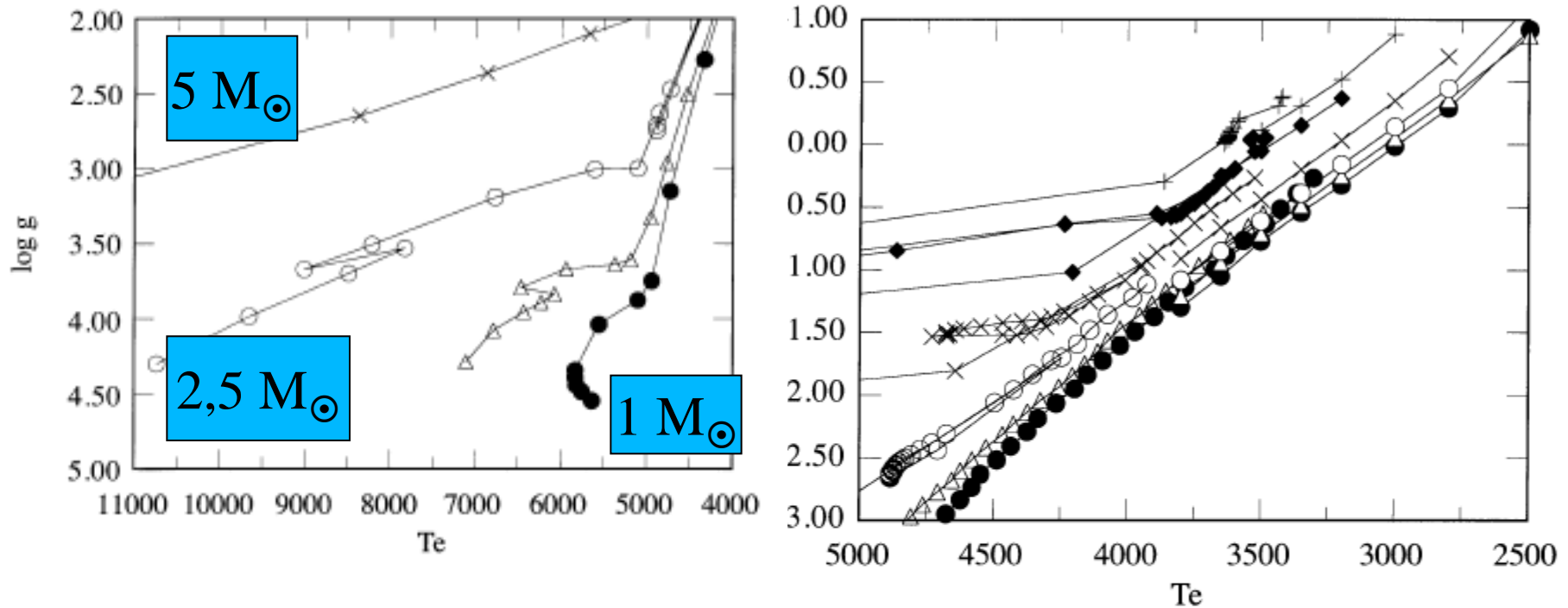


Fig. 3. a Theoretical evolutionary tracks near the main sequence for 1 (filled circles), 1.5 (triangles), 2.5 (open circles), 5 (crosses) M_{\odot} models with $Z = 0.02$ from Schaller et al (1992). **b** Theoretical giant branch tracks for 1 (filled circles), 1.5 (open triangles), 2.5 (open circles), 5 (crosses), 9 (filled diamonds) and 15 (pluses) M_{\odot} models with $Z = 0.02$ from Schaller et al (1992) together with extensions to higher luminosities and cooler temperatures from Bessell et al. (1991).

Classes de Luminosidade (cont.)

As **linhas espectrais** são muito sensíveis à **densidade** nas fotosferas estelares \Rightarrow pelas diferenças nas linhas pode-se identificar se a estrela encontra-se na **sequência principal** ou no **ramo das gigantes**, por exemplo.

Esquema de identificação para as diferentes categorias \Rightarrow **classe de luminosidade (M-K)**.

Table 13. Absolute magnitudes of the MK system. For references, see text p. 17.

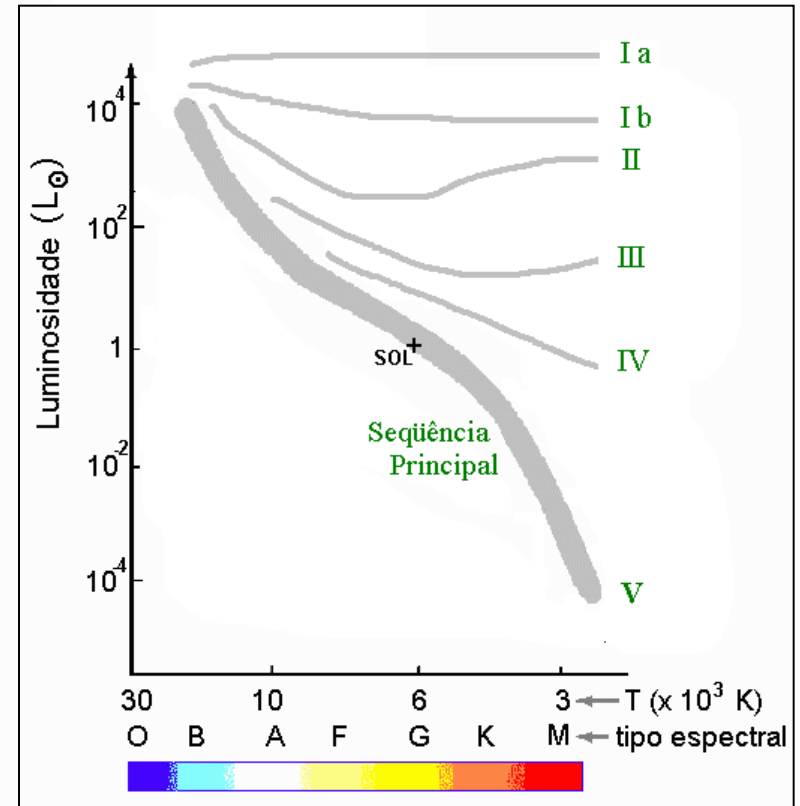
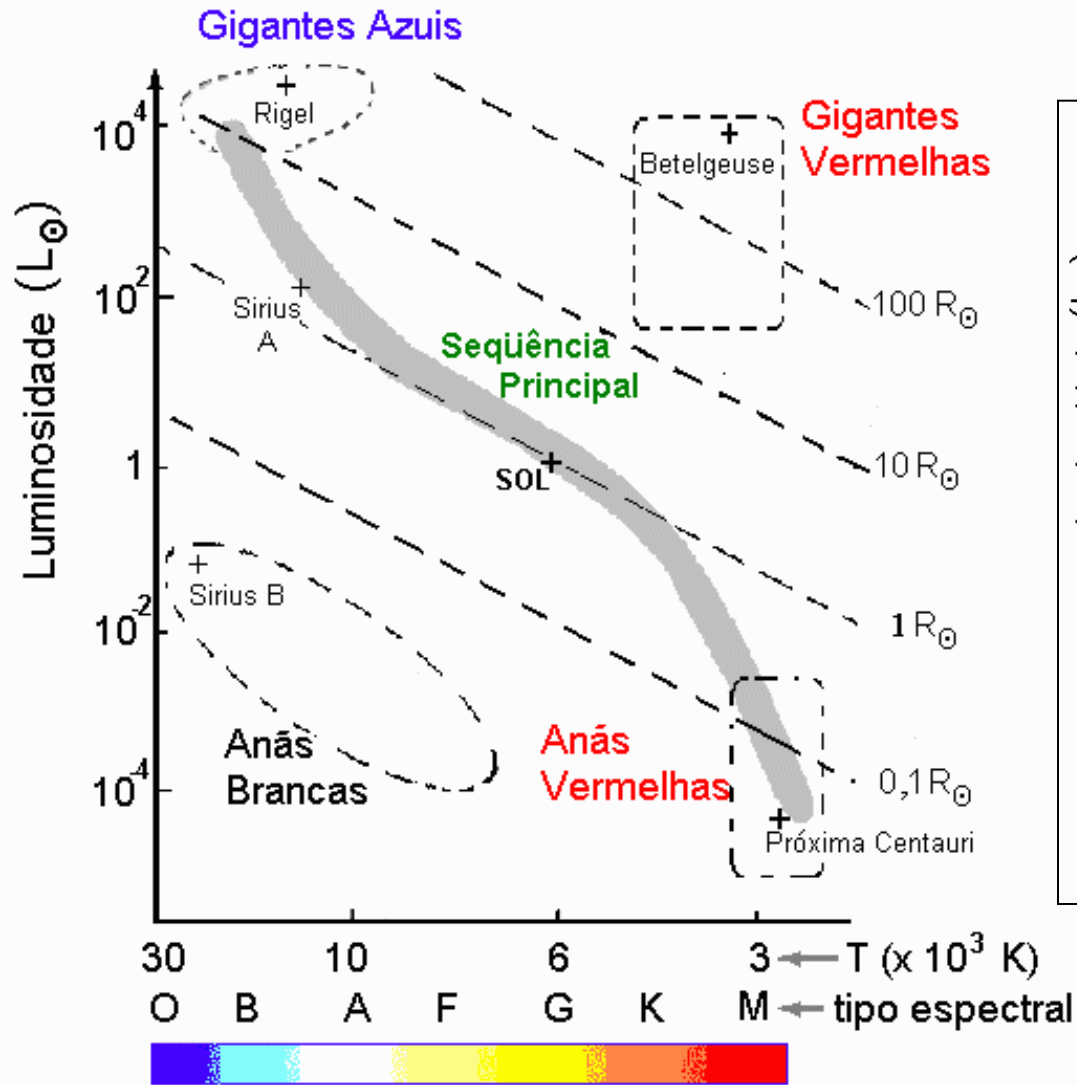
LC	V	IV	III	II	Ib	Iab	Ia	Ia-0
Sp	M_v							
O 3	-6 ^M 0						-6 ^M 8	
4	-5.9	-6 ^M 1	-6 ^M 5				-6.8	
5	-5.7	-6.0	-6.3				-6.8	
6	-5.5	-5.8	-6.1			-6 ^M 5	-6.8	
7	-5.2	-5.5	-5.9	-6 ^M 0	-6 ^M 3	-6.5	-6.8	
8	-4.9	-5.4	-5.8	-6.0	-6.2	-6.5	-6.8	
9	-4.5	-5.2	-5.6	-5.9	-6.2	-6.5	-6.8	
B 0	-4.0	-4.7	-5.1	-5.7	-6.1	-6.4	-6.9	-8 ^M 2
1	-3.2	-3.8	-4.4	-5.4	-5.8	-6.4	-6.9	-8.3
2	-2.45	-3.1	-3.9	-4.8	-5.7	-6.4	-6.9	-8.3
3	-1.6	-2.4	-3.0	-4.5	-5.5	-6.3	-7.0	-8.3
5	-1.2	-1.7	-2.2	-4.0	-5.4	-6.2	-7.0	-8.4
7	-0.6	-1.1	-1.5	-3.5	-5.3	-6.2	-7.1	-8.4
8	-0.25	-0.7	-1.2	-3.1	-5.2	-6.2	-7.1	-8.5
9	+0.2	-0.2	-0.6		-5.2	-6.2	-7.1	-8.5
A 0	+0.65	+0.3	+0.0	-3.0	-5.2	-6.3	-7.1	-8.5
1	+1.0	+0.7	+0.2	-3.0	-5.2	-6.4	-7.2	-8.5
2	+1.3	+1.0	+0.3	-2.9	-5.2	-6.5	-7.2	-8.6
3	+1.5	+1.2	+0.5	-2.8	-5.2	-6.5	-7.2	-8.7
5	+1.95	+1.3	+0.7	-2.8	-5.1	-6.6	-7.4	-8.8
7	+2.2	+1.7	+1.1	-2.7	-5.1		-7.7	-8.9
8	+2.4	+2.0	+1.2	-2.6	-5.1		-7.8	-8.9
F 0	+2.7	+2.2	+1.5	-2.5	-5.1	-6.6	-8.0	-9.0
2	+3.6	+2.4	+1.7	-2.4	-5.1	-6.6	-8.0	-9.0
5	+3.5	+2.5	+1.6	-2.3	-5.1	-6.6	-8.0	-9.0
8	+4.0	+2.8		-2.3	-5.1	-6.5	-8.0	-9.0

Schmidt-Kaler

F 0	+ 2.7	+2.2	+1.5	-2.5	-5.1	-6.6	-8.0	-9.0
2	+ 3.6	+2.4	+1.7	-2.4	-5.1	-6.6	-8.0	-9.0
5	+ 3.5	+2.5	+1.6	-2.3	-5.1	-6.6	-8.0	-9.0
8	+ 4.0	+2.8		-2.3	-5.1	-6.5	-8.0	-9.0
G 0	+ 4.4	+3.0	+1.0	-2.3	-5.0	-6.4	-8.0	-8.9
2	+ 4.7	+3.0	+0.9	-2.3	-5.0	-6.3	-8.0	-8.8
5	+ 5.1	+3.1	+0.9	-2.3	-4.6	-6.2	-7.9	-8.6
8	+ 5.5	+3.1	+0.8	-2.3	-4.4	-6.1	-7.8	-8.5
K 0	+ 5.9	+3.1	+0.7	-2.3	-4.3	-6.0	-7.7	-8.5
1	+ 6.15	+3.1	+0.6	-2.3	-4.3	-6.0	-7.6	
2	+ 6.4		+0.5	-2.3	-4.3	-5.9	-7.6	
3	+ 6.65		+0.3	-2.3	-4.3	-5.9	-7.5	
4	+ 7.0		0.0	-2.3	-4.3	-5.8	-7.5	
5	+ 7.35		-0.2	-2.3	-4.4	-5.8	-7.5	
7	+ 8.1		-0.3	-2.3	-4.4	-5.7	-7.4	
M 0	+ 8.8		-0.4	-2.5	-4.5	-5.6	-7.0	-8.0
1	+ 9.3		-0.5	-2.5	-4.6	-5.6	-7.0	-8.0
2	+ 9.9		-0.6	-2.6	-4.7	-5.6	-6.9	-8.0
3	+10.4		-0.6	-2.6	-4.8	-5.6	-6.9	-8.0
4	+11.3		-0.5	-2.6	-4.8	-5.6	-6.8	-8.0
5	+12.3		-0.3		-4.8	-5.6	-6.8	

Schmidt-Kaler

Diagrama H-R e as Classes de Luminosidade.



Class	Type of Star
Ia-O	Extreme, luminous supergiants
Ia	Luminous supergiants
Ib	Less luminous supergiants
II	Bright giants
III	Normal giants
IV	Subgiants
V	Main-sequence (dwarf) stars
VI, sd	Subdwarfs
D	White dwarfs

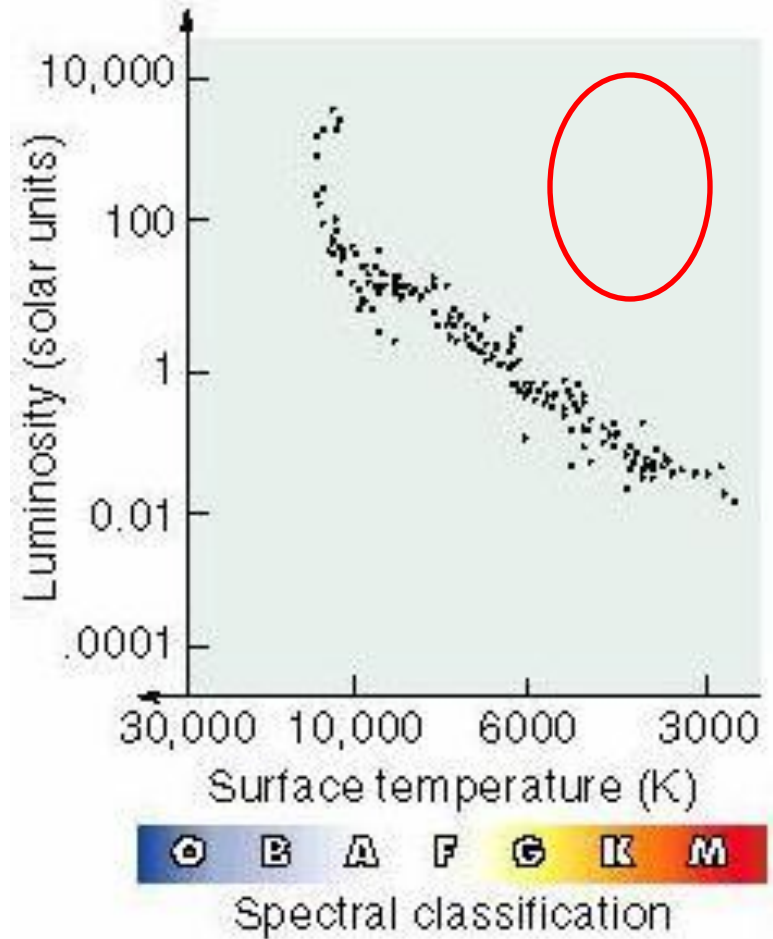
Tab. 8.3 Morgan-Keenan Luminosity Classes

Aglomerado aberto (jovem)

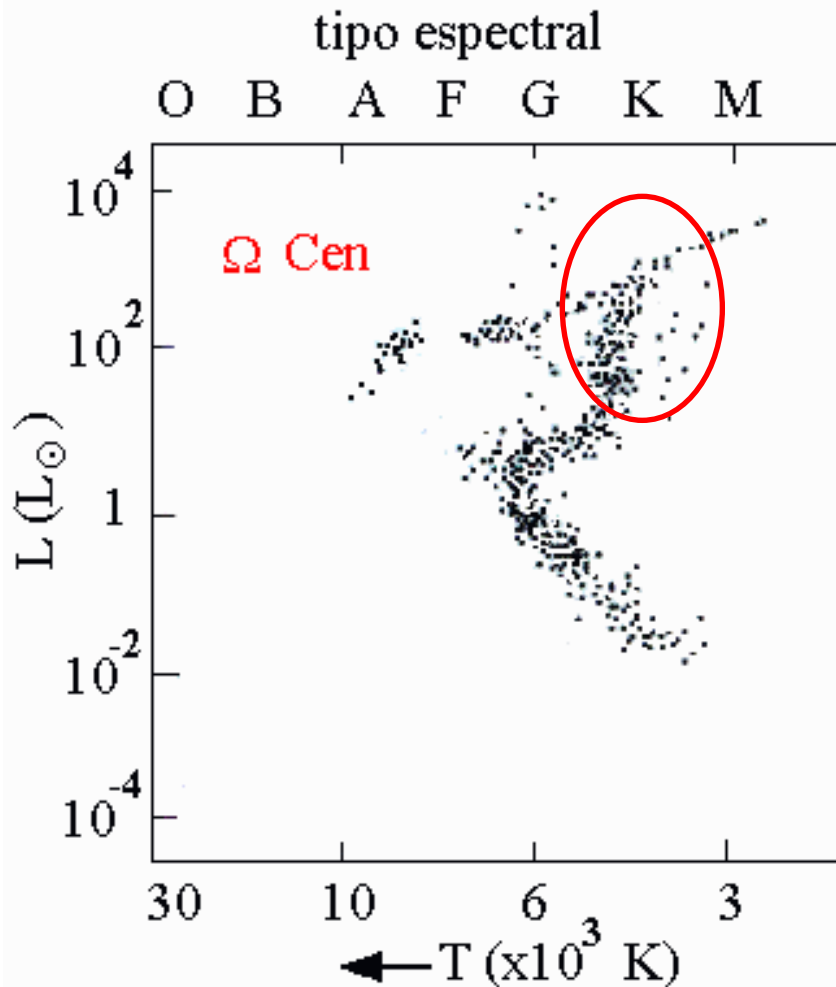


Plêiades (~10 milhões de anos)

Neste caso, somente estrelas na Sequência Principal e nenhuma na região das gigantes.



Aglomerado globular (velho)



Ômega Centauri
(12 bilhões de anos)

8.16 The blue-white star Fomalhaut (“the fish’s mouth” in Arabic) is in the southern constellation of Pisces Austrinus. Fomalhaut has an apparent visual magnitude of $V = 1.19$. Use the H–R diagram in Fig. 8.16 to determine the distance to this star.

A4 V

$$m_V = 1,19 \text{ mag}$$

$$M_V = 2,0 \text{ mag}$$

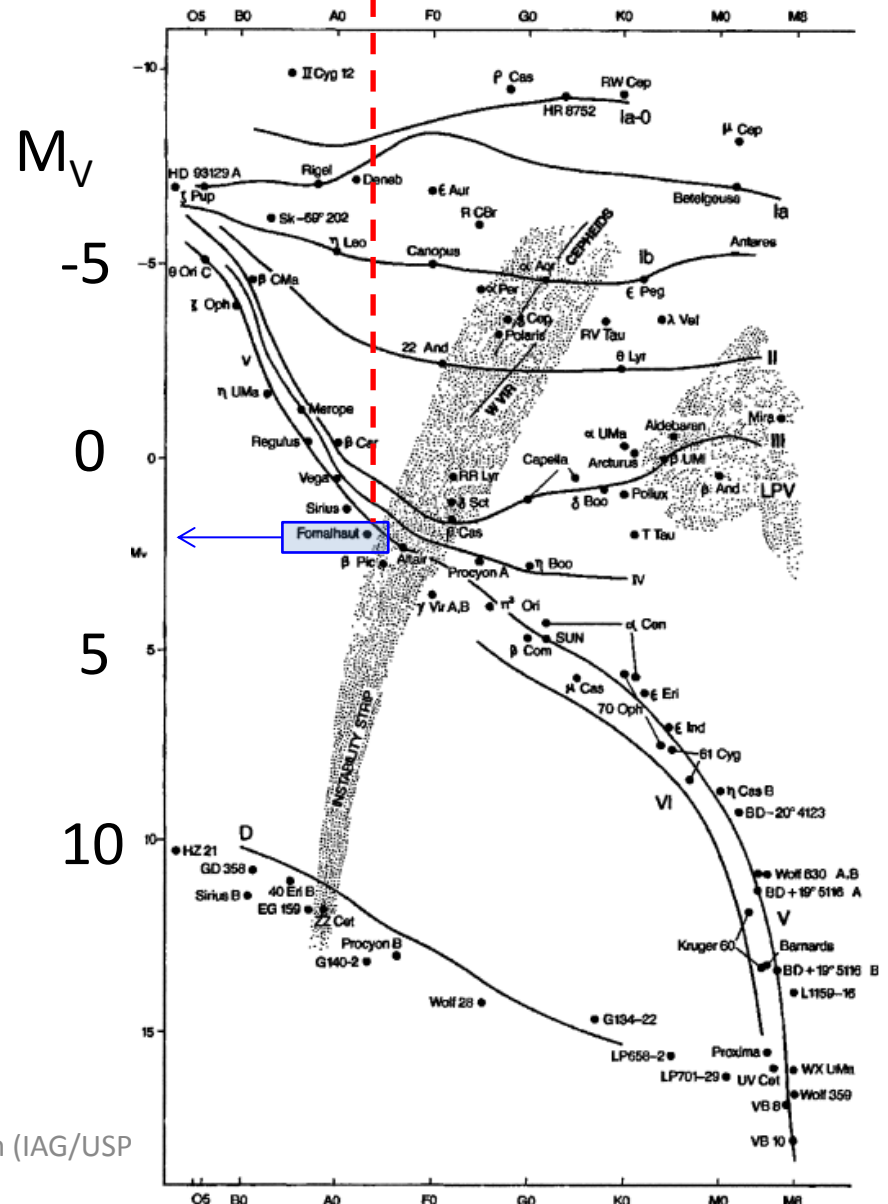
$$m_V - M_V = 5 \log \left(\frac{d}{10} \right)$$

$$\frac{m_V - M_V}{5} = \log \left(\frac{d}{10} \right)$$

$$10^{\frac{m_V - M_V}{5}} = \left(\frac{d}{10} \right)$$

$$10^{\frac{1,19 - 2}{5}} = 10^{-0,162} = 0,689 = \left(\frac{d}{10} \right)$$

$$d = 6,89 \text{ pc}$$



Próxima Aula:
Capítulo 9
Atmosferas Estelares

ENTREGAR LISTA 1